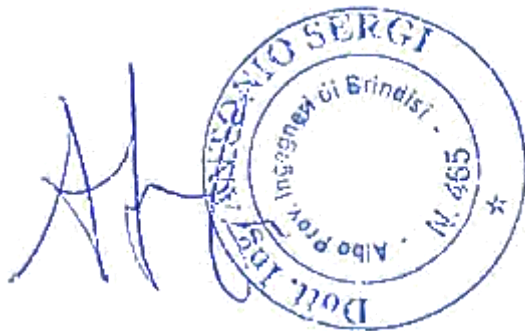


TITLE:

AVAILABLE LANGUAGE: IT

# “IMPIANTO EOLICO SERRACAPRIOLA”

## CALCOLO PRELIMINARE FONDAZIONI AEROGENERATORI



| REV. | DATE       | DESCRIPTION      | PREPARED | VERIFIED  | APPROVED       |
|------|------------|------------------|----------|-----------|----------------|
| 02   | 07/05/2021 | REVISIONE FINALE | C.MEDICO | V.D'AMICO | A.SSERGI (SCS) |
| 01   | 12/03/2021 | REVISIONE        | C.MEDICO | V.D'AMICO | A.SSERGI (SCS) |
| 00   | 22/02/2021 | EMISSIONE        | C.MEDICO | V.D'AMICO | A.SSERGI (SCS) |

**GRE VALIDATION**

|               |             |              |
|---------------|-------------|--------------|
| F.TAMMA       | COLANTONI   | F.TAMMA      |
| COLLABORATORS | VERIFIED BY | VALIDATED BY |

| PROJECT / PLANT<br>IMPIANTO EOLICO<br>SERRACAPRIOLA | GRE-CODE |          |      |        |         |     |       |   |   |        |             |          |   |   |   |   |   |   |   |   |
|---|----------|----------|------|--------|---------|-----|-------|---|---|--------|-------------|----------|---|---|---|---|---|---|---|---|
|   | GROUP    | FUNCTION | TYPE | ISSUER | COUNTRY | TEC | PLANT |   |   | SYSTEM | PROGRESSIVE | REVISION |   |   |   |   |   |   |   |   |
|   | GRE      | EEC      | R    | 2      | 5       | I   | T     | W | 1 | 5      | 2           | 2        | 8 | 0 | 0 | 0 | 4 | 0 | 0 | 2 |

|                |                   |
|----------------|-------------------|
| CLASSIFICATION | UTILIZATION SCOPE |
|----------------|-------------------|

## INDEX

|   |    |
|---|----|
| 1. PREMESSA .....   | 3  |
| 2. NORME DI RIFERIMENTO .....   | 4  |
| 3. CRITERI DI CALCOLO .....   | 5  |
| 4. INQUADRAMENTO GEOGRAFICO .....   | 6  |
| 5. INDAGINI GEOGNOSTICHE E GEOFISICHE .....                                   | 9  |
| 6. MODELLO GEOLOGICO E GEOTECNICO .....                                       | 14 |
| 7. CRITERI DI VERIFICA .....  | 16 |
| 7.1. MODELLAZIONE .....   | 16 |
| 7.2. VERIFICHE ESEGUITE .....   | 16 |
| 7.3. APPROCCI DI PROGETTO E COMBINAZIONI DI CARICO .....                      | 16 |
| 7.4. AZIONI DERIVANTI DALLA SOVRASTRUTTURA .....                              | 18 |
| 8. SOLUZIONE 1: FONDAZIONE DIRETTA .....                                      | 21 |
| 8.1. PESO PROPRIO DELLA FONDAZIONE .....                                      | 21 |
| 8.2. PESO PROPRIO DEL RIEMPIMENTO .....                                       | 21 |
| 8.3. RIEPILOGO CONDIZIONI DI CARICO .....                                     | 22 |
| 8.4. VERIFICHE GLOBALI / GEOTECNICHE .....                                    | 22 |
| 8.4.1. COMBINAZIONI DI CARICO E FATTORI DI SICUREZZA .....                    | 22 |
| 8.4.2. GAPPING .....  | 23 |
| 8.4.3. RIBALTAMENTO .....   | 24 |
| 8.4.4. CARICO LIMITE .....  | 24 |
| 8.4.5. SLITTAMENTO .....  | 25 |
| 8.4.6. VALUTAZIONE MODULO DI REAZIONE (WINKLER) .....                         | 26 |
| 8.4.7. VALUTAZIONE DEI CEDIMENTI .....  | 26 |
| 8.4.8. VALUTAZIONE DELLA RIGIDEZZA ROTAZIONALE DINAMICA .....                 | 27 |
| 9. SOLUZIONE 2: FONDAZIONE SU PALI .....                                      | 29 |
| 9.1. PESO PROPRIO DELLA FONDAZIONE .....                                      | 30 |
| 9.2. PESO PROPRIO DEL RIEMPIMENTO .....                                       | 30 |
| 9.3. RIEPILOGO CONDIZIONI DI CARICO .....                                     | 30 |
| 9.4. azioni risultati all'intradosso della fondazione .....                   | 31 |
| 9.5. analisi scarichi sui pali .....  | 31 |
| 9.6. VERIFICHE di portanza assiale dei pali .....                             | 33 |
| 10. CONCLUSIONI .....   | 35 |
| 11. ANNEX A - D2370721-004 SGRE ON SG 6.0-170 FOUNDATION LOADS T115-50A ..... | 36 |

## 1. PREMESSA

Oggetto della presente relazione è il calcolo preliminare delle opere di fondazione degli aerogeneratori del proposto parco eolico denominato "Serracapriola".

L'area di progetto oggetto di indagine, comprendente n. 8 aerogeneratori (nel seguito WTG) e, ricade nell'ambito del territorio amministrato del Comune di Serracapriola in Provincia di Foggia.

Gli aerogeneratori che verranno installati nel nuovo impianto di Serracapriola saranno selezionati sulla base delle più innovative tecnologie disponibili sul mercato. La potenza nominale delle turbine previste sarà pari a massimo 6,0 MW. Il tipo e la taglia esatta dell'aerogeneratore saranno comunque individuati in fase di acquisto della macchina e verranno descritti in dettaglio in fase di progettazione esecutiva. Gli aerogeneratori, sono localizzati nel Catasto Terreni dei Comuni di Serracapriola come riportato in Tabella 1.

| SISTEMA DI RIFERIMENTO UTM WGS 84 - FUSO 33N |         |          | RIFERIMENTI CATASTALI |    |        |
|--|---------|----------|-----------------------|----|--------|
| WTG  | EST [m] | NORD [m] | COMUNE                | FG | P.LLA  |
| 1  | 510904  | 4627367  | SERRACAPRIOLA         | 22 | 56/251 |
| 2  | 510662  | 4628319  | SERRACAPRIOLA         | 22 | 35     |
| 3  | 510693  | 4628832  | SERRACAPRIOLA         | 22 | 32/322 |
| 4  | 510934  | 4629296  | SERRACAPRIOLA         | 14 | 26     |
| 5  | 511310  | 4629677  | SERRACAPRIOLA         | 15 | 84     |
| 6  | 510982  | 4631344  | SERRACAPRIOLA         | 15 | 48     |
| 7  | 511515  | 4630298  | SERRACAPRIOLA         | 15 | 17     |
| 8  | 511179  | 4631868  | SERRACAPRIOLA         | 15 | 120    |

**Tabella 1: Coordinate aerogeneratori e relativa ubicazione catastale**

## **2. NORME DI RIFERIMENTO**

- [1] DM 17/01/2018 - Aggiornamento delle «Norme tecniche per le costruzioni»
- [2] Circ. 21 gennaio 2019, n. 7/C.S.LL.PP.
- [3] Eurocodice 2 - "Progettazione delle strutture in calcestruzzo.1-1: Regole generali e regole per gli edifici"
- [4] Eurocodice 7 - "Progettazione geotecnica. Parte 1 - Regole generali"
- [5] CEI EN 61400-1



GRE CODE

**GRE.EEC.R.25.IT.W.15228.00.040.02**

PAGE

5 di/of 36

### **3. CRITERI DI CALCOLO**

Le analisi sono state condotte per mezzo di un software che permette la modellazione sia del terreno che della fondazione, di cui al paragrafo 7.1. Le verifiche condotte sono quelle previste dalla normativa citata.

#### 4. INQUADRAMENTO GEOGRAFICO

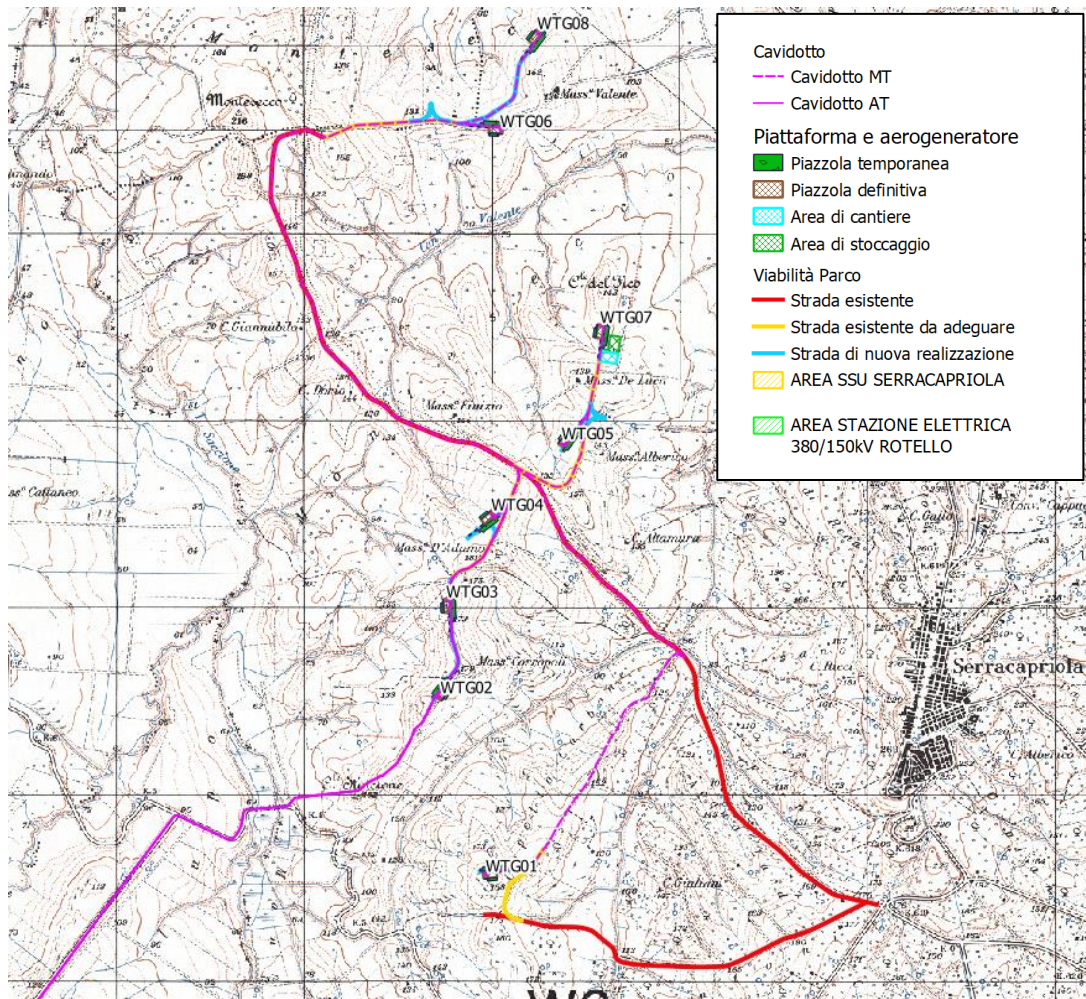
Le aree proposte per la realizzazione del parco eolico in progetto sono ubicate nel territorio comunale di Serracapriola, in provincia di Foggia, Regione Puglia. L'area, dal punto di vista orografico è tipo collinare ed situata a circa 12 km dalla costa adriatica e a circa 50 km a nord-ovest del capoluogo regionale Foggia.



**Figura 1: Localizzazione dell'area di impianto nel contesto nazionale.**

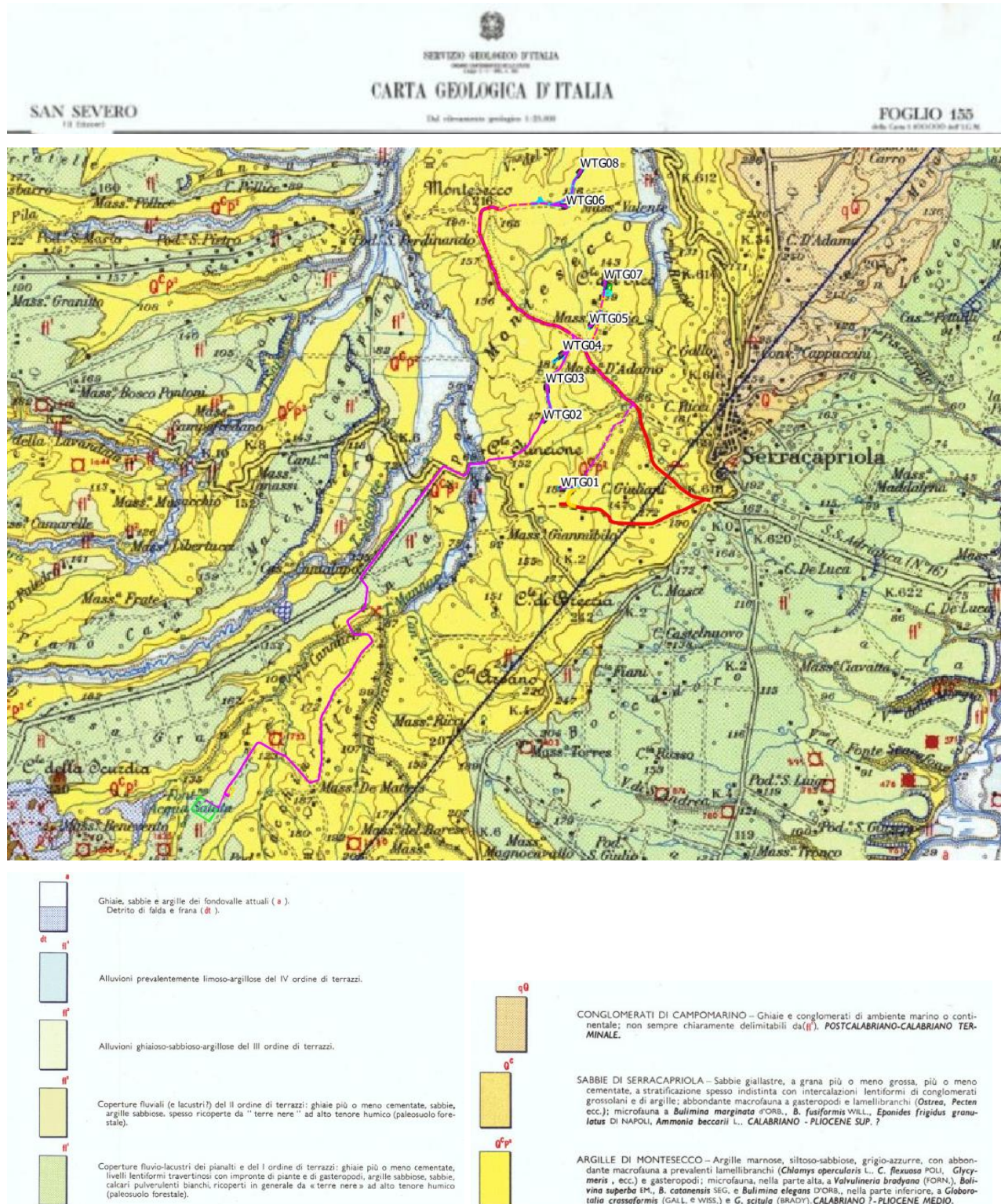
Per quanto concerne le quote topografiche, variano da un massimo di circa 180 m s.l.m. (zona WTG1 ad un minimo di circa 120 m s.l.m. (zona WTG08). In generale le quote topografiche tendono a degradare da Sud verso Nord.

Cartograficamente l'area è ricompresa all'interno delle tavolette I.G.M. alla scala 1:50.000 denominate "CAMPOMARINO" Foglio 382 e "TORREMAGGIORE" Foglio 395. Alla scala 1:25.000 il sito di interesse ricade nelle tavolette I.G.M. 155 - IV SE (CHIEUTI), 155 - III NE (SERRACAPRIOLA) e 155 - NO (URURI).



**Figura 2 - Individuazione su stralcio IGM (figura sopra: area parco eolico; figura sotto: opere di connessione).**

Sulla cartografia geologica ufficiale, l'area ricade all'interno del Foglio 155 – "SAN SEVERO" della Carta Geologica d'Italia in scala 1:100.000.



**Figura 3: Inquadramento su cartografia geologica – Foglio 155 (San Severo) della Carta Geologica d'Italia alla scala 1:100.000.**

## 5. INDAGINI GEOGNOSTICHE E GEOFISICHE

La campagna di indagini geognostiche, pianificata per il presente progetto ha indagato aree in cui l'accesso era consentito, cercando di investigare le litologie caratteristiche del sedime di fondazione degli aerogeneratori. Le indagini eseguite, rappresentano una prima caratterizzazione di massima dei litotipi affioranti all'interno dell'area di progetto, che dovranno necessariamente essere integrate in fase di progettazione esecutiva, andando ad investigare puntualmente ogni postazione in cui è prevista l'ubicazione degli aerogeneratori, nonché di ogni struttura interagente con il sottosuolo.

Nello specifico la campagna di indagini è consistita in:

- ✚ esecuzione di n. 5 indagini sismiche a rifrazione con restituzione tomografica in onde P;
- ✚ Esecuzione di n. 5 Indagini Sismiche MASW, al fine di definire la  $V_s$ , eq e di conseguenza la categoria del suolo di fondazione (NTC18).

L'ubicazione, le metodologie di indagine ed i report dettagliati sono riportati nell'Allegato 1 – REPORT SULLE INDAGINI IN SITO.

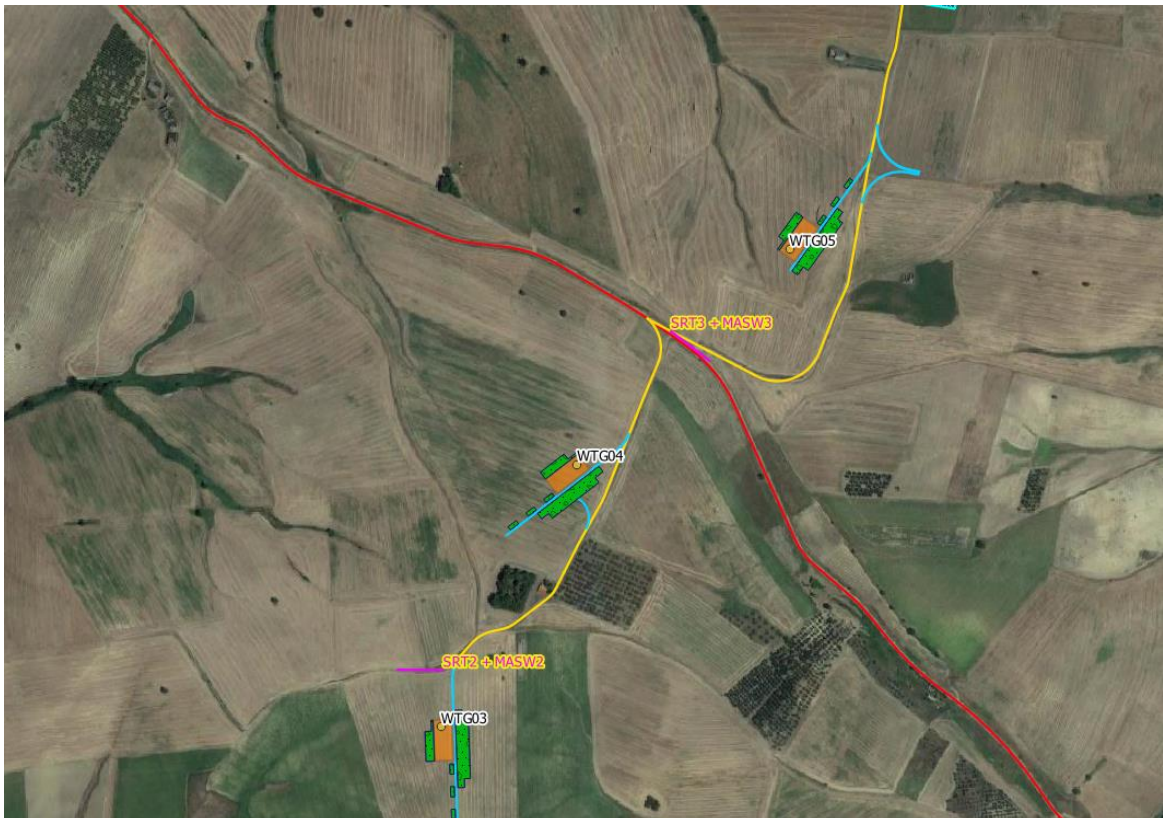
Le indagini sono state commissionate dal soggetto proponente, Enel Green Power Italia SRL ed eseguite dalla RTI CoSTAG-S.In.Ge.A nel mese di gennaio 2021,



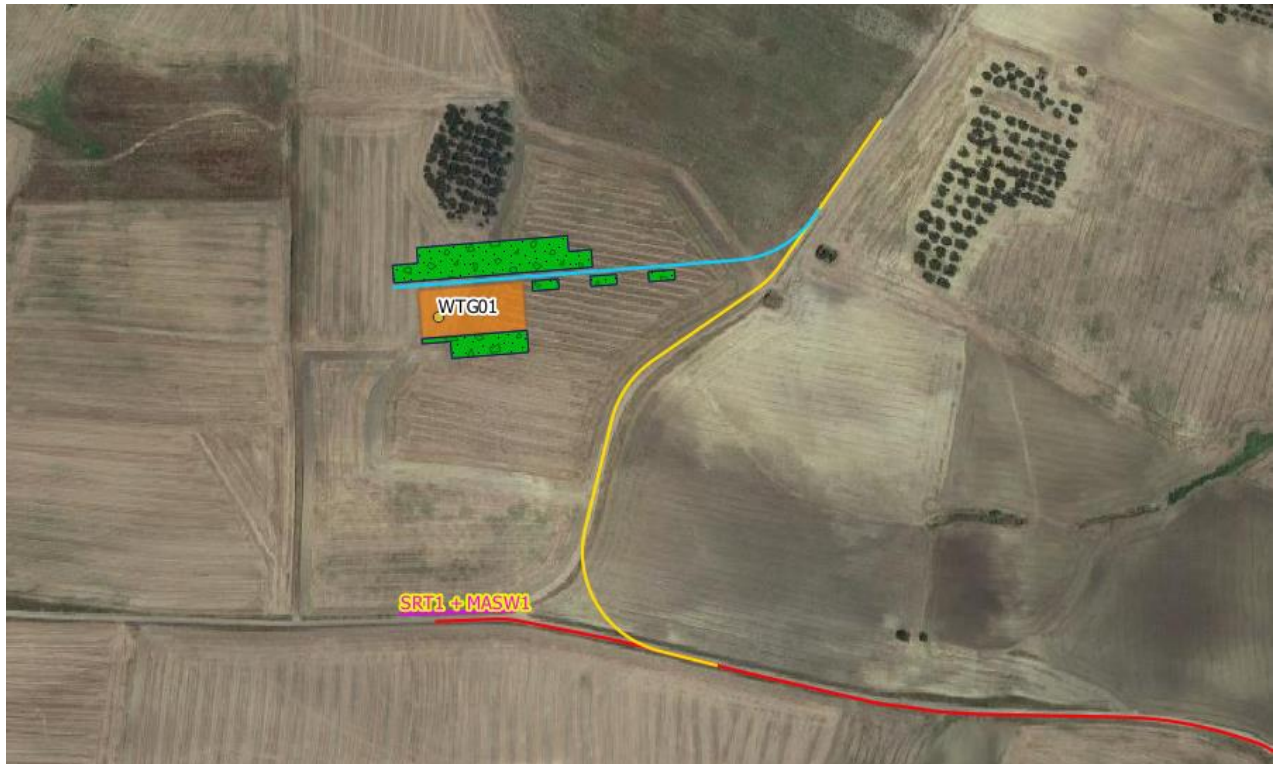
**Figura 4: Ubicazione indagini geofisiche eseguite.**



**Figura 5: Ubicazione indagini geofisiche.**



**Figura 6: Ubicazione indagini geofisiche.**



**Figura 7: Ubicazione indagini geofisiche.**



Sismica STR 1 EMASW 1



Sismica STR 2 EMASW 2



Sismica STR 3 EMASW 3



Sismica STR 4 EMASW 4



Sismica STR 5 EMASW 5

**Figura 8: Report fotografico delle fasi di esecuzione delle indagini sismiche.**

Con l'Aggiornamento delle Norme Tecniche per le Costruzioni (DM 17.1.2018), per quanto riguarda le categorie di sottosuolo, vengono eliminate le categorie S1 ed S2, mentre con l'utilizzo della  $V_{Seq}$ , le categorie di sottosuolo B, C e D vengono ampliate inglobando alcune configurazioni che rientravano in S2, quando il bedrock sismico si posizionava tra i 3 ed i 25 metri dal piano di riferimento. Inoltre la Categoria di sottosuolo D (che nelle NTC08 erano definite con  $V_{s,30} < 180$  m/sec) viene classificata con valori di  $V_{s,eq}$  compresi tra 100 e 180 m/sec.

La  $V_{Seq}$ , è data dai valori della velocità equivalente di propagazione delle onde di taglio,  $V_{s,eq}$  (in m/s), definita dall'espressione:

$$V_{s,eq} = \frac{H}{\sum_{i=1}^N \frac{h_i}{V_{s,i}}} \quad [1]$$

con

$h_i$  = spessore dello stato  $i$ -esimo;

$V_{s,i}$  = velocità delle onde di taglio nell' $i$ -esimo strato;

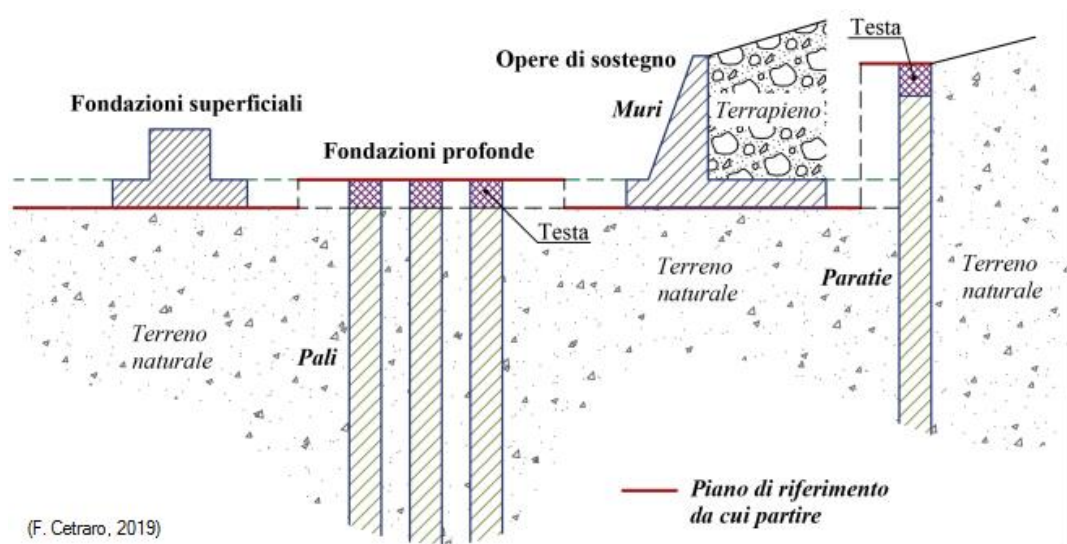
$N$  = numero di strati;

$H$  = profondità del substrato, definito come quella formazione costituita da roccia o terreno molto rigido, caratterizzata da  $V_s$  non inferiore a 800 m/sec.

Per le fondazioni superficiali, la profondità del substrato viene riferita al piano di imposta delle stesse, mentre per le fondazioni su pali alla testa dei pali.

Nel caso di opere di sostegno di terreni naturali, la profondità è riferita alla testa dell'opera.

Per muri di sostegno di terrapieni, la profondità viene riferita al piano di imposta della fondazione (Figura 34).



**Figura 9: Definizione della profondità del substrato.**

Per depositi con profondità  $H$  del substrato superiore a 30 m, la velocità equivalente delle onde di taglio  $V_{S,eq}$  è definita dal parametro  $V_{S,30}$ , ottenuto ponendo  $H=30$  m nella precedente espressione e considerando le proprietà degli strati di terreno fino a tale profondità.

I profili di velocità ricavati dalle indagini eseguite, mostrano piccole inversioni di velocità lungo il profilo. Secondo quanto novellato all'interno degli "Indirizzi e criteri per la microzonazione sismica - Parti I e II" al par. 2.5.2.1, la presenza di una inversione di velocità nel profilo delle  $V_s$  di una successione litostratigrafica si intende realizzata quando un terreno rigido sovrasta stratigraficamente un terreno meno rigido (soffice) con un rapporto  $V_s \text{ rig}/V_s \text{ sof} > 2$ , con la  $V_s$  dello strato più rigido maggiore di 500 m/s. Dall'analisi dei risultati delle MASW eseguite, si evince che le inversioni riscontrate non possono essere annoverate fra le inversioni di velocità per le quali viene richiesto un livello di approfondimento maggiore tramite specifiche analisi di risposta sismica locale.

Pertanto per lo studio in oggetto è possibile avvalersi dell'approccio semplificato e definire quindi la categoria del suolo di fondazione desunto dall'applicazione della formula 1.

Il valore della velocità equivalente di propagazione delle onde di taglio ( $V_{s,eq}$ ), ottenuto dal Modello Medio dell'elaborazione dei dati acquisiti attraverso le basi sismiche, è risultato essere in riferimento al piano piano campagna, il seguente:

| Linea  | $V_{s \text{ eq}}$ | Categoria di Sottosuolo (D.M. 17.01.2018) |
|--------|--------------------|---|
| MASW 1 | 247                | <b>C</b>                                  |
| MASW 2 | 298                | <b>C</b>                                  |
| MASW 3 | 256                | <b>C</b>                                  |
| MASW 4 | 289                | <b>C</b>                                  |
| MASW 5 | 241                | <b>C</b>                                  |

Per l'interpretazione di dettaglio delle indagini si rimanda all'elaborato "GRE.EEC.R.73.IT.W.15228.00.018.00 - Relazione geologica sismica".

## 6. MODELLO GEOLOGICO E GEOTECNICO

Sulla scorta degli studi delle risultanze delle indagini geognostiche effettuate è stato possibile elaborare per l'area di progetto un modello geologico di riferimento, il quale tiene conto di tutte le informazioni acquisite durante il presente studio, che viene nel seguito sintetizzato:

### Orizzonte 1 – TERRENO VEGETALE

Terreno vegetale prevalentemente argilloso-limoso.

### Orizzonte 2 – ORIZZONTE GHIAIOSO

Coperture fluvio-lacustri del I ordine dei terrazzi: ciottoli eterometrici ed eterogenei misti a ghiaia medio- grossolana, in matrice argilloso-sabbiosa e limoso-sabbiosa, di colore marrone. Localmente si rinvencono, intercalazioni di livelli costituiti da argilla sabbiosa di colore marrone; il passaggio alla sottostante litozona avviene di norma gradualmente, attraverso variazioni verticali di facies, con una matrice argilloso-limosa che diventa prevalente sui termini ciottolosi, ghiaiosi e sabbiosi. Tale termine costituisce il sedime di fondazione dell'area di futura realizzazione della SSU, mentre non si rileva all'interno dell'area del parco eolico.

### Orizzonte 3 – ORIZZONTE ARGILLOSO

Argille di Montesecco: argille marnose grigio azzurre.

Argille marnose e silto-sabbiose di colore grigio-azzurro, con sottili intercalazioni sabbiose (1-3 cm), più frequenti verso il tetto della formazione. Si presentano generalmente stratificate con strati di spessore variabile tra 10 cm e 30 cm. In alcuni casi si presentano con aspetto massivo; non si riconoscono strutture sedimentarie, ad eccezione di alcuni casi dove è presente laminazione piano parallela. Superficialmente possono presentarsi di colore giallastro per alterazione meteorica, con patine siltose e rare intercalazioni sabbiose

Costituiscono il sedime di fondazione di tutte le turbine eoliche in progetto.

Sulla base del modello geologico di riferimento è possibile inoltre considerare i seguenti aspetti:

|                                  |  |
|----------------------------------|--|
| Categoria di sottosuolo          | C  |
| Categoria Topografica            | T1   |
| Falda                            | Assente  |
| Rischio liquefazione dei terreni | Nullo  |
| Rischio instabilità dei terreni  | Situazione Globale Stabile                             |
|                                  | Possibile Instabilità strato superficiale di copertura |

In accordo con il modello geologico, sintetizzando le risultanze delle indagini geognostiche effettuate è stato elaborato il modello geotecnico dell'area in studio, il quale è formato dai seguenti livelli geotecnici:

- ✚ UNITA' GEOTECNICA 0 [U.G.0] – TERRENO VEGETALE
- ✚ UNITA' GEOTECNICA 1 [U.G.1] – GHIAIE
- ✚ UNITA' GEOTECNICA 2 [U.G.2] – ARGILLE

I valori delle principali caratteristiche fisiche e meccaniche sono stati ricavati dall'elaborazione di numerose prove (prove penetrometriche in foro di sondaggio, prove di laboratorio geotecnico) consultate e riguardanti indagini pregresse su terreni simili a quelli in studio e del tutto comparabili in termini geotecnici.

In fase esecutiva dovranno essere comunque svolte specifiche indagini in sito volte alla definizione corretta dei parametri geotecnici sito-specifici.

In particolare sono stati parametrizzati le unità Geotecniche U.G. 1 e U.G.2; l'unità geotecnica U.G. 0 costituita da terreno vegetale non è stato in questa fase oggetto di parametrizzazione, e comunque se ne sconsiglia l'utilizzo ai fini fondali, date le caratteristiche geotecniche estremamente scadenti.

#### **UNITA' GEOTECNICA 1 [U.G.1] – GHIAIE [area SSU]**

| $f'$ (°)  | $c'$ (kPa) | $C_u$ (kPa) | $g$ (kN/m <sup>3</sup> ) | $g_{sat}$ (kN/m <sup>3</sup> ) |
|-----------|------------|-------------|--------------------------|--------------------------------|
| 28.0-35.0 | 0.00-2.00  | ---         | 18.50-19.00              | 19.00-19.80                    |

#### **UNITA' GEOTECNICA 2 [U.G.2] – ARGILLE [Fondazioni WTG]**

| $f'$ (°)    | $c'$ (kPa) | $C_u$ (kPa) | $g$ (kN/m <sup>3</sup> ) | $g_{sat}$ (kN/m <sup>3</sup> ) |
|-------------|------------|-------------|--------------------------|--------------------------------|
| 22.00-25.00 | 4.00-15.00 | 150-200     | 19.80-20.70              | 19.80-27.00                    |

## 7. CRITERI DI VERIFICA

### 7.1. MODELLAZIONE

La fondazione è stata analizzata considerando i carichi dovuti alle seguenti azioni:

- 1) il peso proprio
- 2) il peso del terreno di rinterro (sovraccarico permanente non compiutamente definito)
- 3) carichi provenienti dalla struttura in elevazione ( $F_z$ ,  $F_x$ ,  $F_y$ ,  $M_z$ ,  $M_x$ ,  $M_y$ ) e applicati a 20 cm dal piedistallo

Nell'ambito della valutazione geotecnica della fondazione si è proceduto alla determinazione della rigidità equivalente verticale alla **Winkler** del terreno di fondazione, adottata nell'ambito della modellazione strutturale: tale parametro è riportato al § 8.4.6.

Il modello geotecnico ipotizzato è il seguente:

| SPESSORE STRATO | UNITÀ GEOTECNICA | PARAMETRI GEOTECNICI CARATTERISTICI  |
|-----------------|------------------|--|
| 40 m            | U.G. 2           | $g_s$ (kN/m <sup>3</sup> ) Peso specifico: 20,2<br>$f'$ (°) Angolo di attrito di picco: 23,0<br>$c'$ (kPa) Coesione efficace: 7,0<br>$E$ (Mpa) Modulo Elastico Statico: 25<br>$\eta$ Coefficiente di Poisson: 0,50 |

(\*) Valore medio assunto da bibliografia. Il modulo elastico medio per un terreno argilloso può variare da un minimo 15MPa ad un massimo di 250MPa.

### 7.2. VERIFICHE ESEGUITE

Le verifiche riguardanti la sicurezza globale e geotecnica sono state eseguite in accordo con il metodo degli stati limite di cui al cap. 2, 4 e 6 di [1], tenendo conto delle ulteriori richieste prestazionali previste nella normativa di settore [5]. In particolare sono state eseguite le:

- 1) verifiche globali di ribaltamento
- 2) verifiche globali di gapping (parzializzazione delle pressioni sul piano di appoggio)
- 3) verifiche geotecniche di resistenza a slittamento e carico limite
- 4) valutazioni dei cedimenti massimi assoluti e differenziali
- 5) valutazione della rigidità rotazionale dinamica
- 6) valutazione della costante di Winkler

Le verifiche espone nel seguito si fondano sui dati di calcolo forniti dal progettista della parte in elevazione, e che sono riassunti nelle successive tabelle (§ **Errore. L'origine riferimento non è stata trovata.**).

### 7.3. APPROCCI DI PROGETTO E COMBINAZIONI DI CARICO

Per le verifiche geotecniche si fa riferimento all'approccio 2, in accordo con la combinazione A1+M1+R3 e le tabelle seguenti:

|  |             | Coefficiente $\gamma_F$ | EQU | A1  | A2  |
|--|-------------|-------------------------|-----|-----|-----|
| Carichi permanenti $G_1$                       | Favorevoli  | $\gamma_{G1}$           | 0,9 | 1,0 | 1,0 |
|  | Sfavorevoli |                         | 1,1 | 1,3 | 1,0 |
| Carichi permanenti non strutturali $G_2^{(1)}$ | Favorevoli  | $\gamma_{G2}$           | 0,8 | 0,8 | 0,8 |
|  | Sfavorevoli |                         | 1,5 | 1,5 | 1,3 |
| Azioni variabili Q                             | Favorevoli  | $\gamma_Q$              | 0,0 | 0,0 | 0,0 |
|  | Sfavorevoli |                         | 1,5 | 1,5 | 1,3 |

<sup>(1)</sup> Nel caso in cui l'intensità dei carichi permanenti non strutturali o di una parte di essi (ad es. carichi permanenti portati) sia ben definita in fase di progetto, per detti carichi o per la parte di essi nota si potranno adottare gli stessi coefficienti parziali validi per le azioni permanenti.

**Tabella 7.1**

| Verifica      | Coefficiente parziale |
|---------------|-----------------------|
|               | <b>(R3)</b>           |
| Carico limite | $\gamma_R = 2,3$      |
| Scorrimento   | $\gamma_R = 1,1$      |

**Tabella 7.2**

Nella logica del metodo degli Stati Limite ogni azione è stata classificata in base alla "sorgente" (cioè alla norma di riferimento, [1] e [5]) e al tipo di carico. Ciò anche nell'ottica di operare una corretta applicazione della norma [5], specifica per gli aerogeneratori, assieme con i criteri di progettazione previsti dalla norma [1] valida per tutte le costruzioni civili ed industriali. La tabella seguente riassume, pertanto, i coefficienti parziali da applicare, che differiscono in caso di azione "Abnormal" o "Normal" in accordo con le precedenti tabelle (8.1 e 8.2) estratte da [1] e la tabella 3 di [5].

| AZIONE                   | TIPO DI CARICO           | NORMA DI RIFERIMENTO | COEFFICIENTI PARZIALI $\gamma_F$ |                    |
|--------------------------|--------------------------|----------------------|----------------------------------|--------------------|
|                          |                          |                      | GEO                              | EQU                |
| Peso proprio fondazione  | Permanente fondazione    | [1]                  | 1,00 / 1,30                      | 0,90               |
| Peso terreno riempimento | Permanente fondazione    | [1]                  | 0,80 / 1,50                      | 0,80               |
| Peso aerogeneratore      | Permanente aerogener.    | [1] [5]              | 0,90 / 1,10 / 1,50               | 0,90 / 1,00        |
| Vento aerogen.           | Variabile aerogeneratore | [1] [5]              | / 1,10 / 1,50                    | 1,00 / 1,10 / 1,50 |

**Tabella 7.3: Possibili valori dei coefficienti parziali delle azioni adottati nel presente progetto**

Nella tabella a seguire si riporta l'elenco completo delle combinazioni di carico adottate nelle verifiche della fondazione dell'aerogeneratore in oggetto, esplicitate al successivo § **Errore. L'origine riferimento non è stata trovata.**; i coefficienti adottati sono in accordo con quanto

riportato nella tabella precedente.

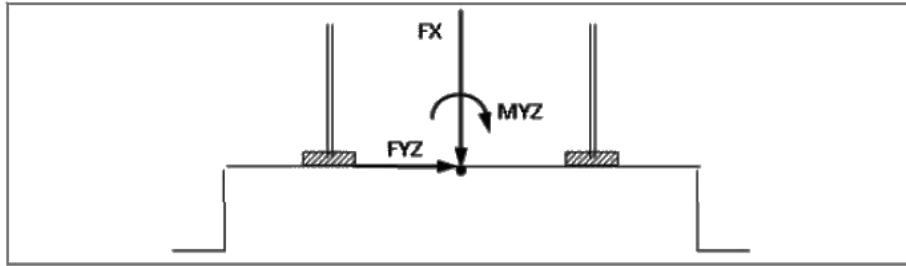
| Tipo di combinazione  |             |               |               | CdC N. | Coefficienti parziali delle azioni $\gamma_r$ |             |      |      |      |
|-----------------------|-------------|---------------|---------------|--------|---|-------------|------|------|------|
|                       |             |               |               |        | Peso proprio                                  | Riempimento | Fz   | H    | M    |
| <b>GEO (abnormal)</b> | Approccio 2 | A1+M1+R3      | Abnormal SLU2 | 1      | 1,00  | 1,00        | 0,80 | 1,10 | 1,10 |
|                       | Approccio 2 | A1+M1+R3      | Abnormal SLU1 | 2      | 1,30  | 1,30        | 1,50 | 1,10 | 1,10 |
|                       | Approccio 2 | A1+M1+R3      | Abnormal SLU2 | 3      | 1,00  | 1,00        | 0,80 | 1,10 | 1,10 |
| <b>GEO (normal)</b>   | Approccio 2 | A1+M1+R3      | Normal SLU2   | 4      | 1,00  | 1,00        | 0,80 | 1,50 | 1,50 |
|                       | Approccio 2 | A1+M1+R3      | Normal SLU1   | 5      | 1,30  | 1,30        | 1,50 | 1,50 | 1,50 |
|                       | Approccio 2 | A1+M1+R3      | Normal SLU2   | 6      | 1,00  | 1,00        | 0,80 | 1,50 | 1,50 |
| <b>EQU</b>            | IEC         | normal case   | Normal EQU    | 7      | 0,90  | 0,90        | 0,80 | 1,50 | 1,50 |
|                       | IEC         | abnormal case | Abnorm.EQU    | 8      | 0,90  | 0,90        | 0,80 | 1,10 | 1,10 |
|                       | IEC         | normal case   | Normal        | 9      | 1,00  | 1,00        | 1,00 | 1,00 | 1,00 |
|                       | IEC         | abnormal case | Abnormal      | 10     | 1,00  | 1,00        | 1,00 | 1,00 | 1,00 |
|                       | IEC         |               | Operational   | 11     | 1,00  | 1,00        | 1,00 | 1,00 | 1,00 |

**Tabella 7.4: Coefficienti parziali delle azioni utilizzati ai fini del presente progetto**

L'azione della neve, che presenta un coefficiente di combinazione  $\psi_2 = 0$  in accordo con [1], non è stata mai assunta come azione variabile dominante e, pertanto, non compare in tabella. Le combinazione 7 è assunta come Caratteristica (Rare) e, pertanto ad essa sono state riferite le valutazioni delle tensioni (SLE R) su calcestruzzo e armatura (si veda la relazione di calcolo strutturale delle fondazioni), oltre che per la valutazione dei cedimenti di fondazione. La combinazione 9 è utilizzata per le verifiche relative alla superficie di contatto (area d'impronta) terreno - plinto di fondazione (assieme alle combinazioni 7 e 8). Le combinazioni 10 e 11 fanno riferimento agli stati limite di esercizio strutturali (tensioni, fessurazione) e, pertanto, non sono prese in considerazione nell'ambito di questa relazione, ma saranno oggetto di successive fasi di progetto.

#### 7.4. AZIONI DERIVANTI DALLA SOVRASTRUTTURA

Ai soli fini della valutazione dei carichi, è stato considerato un aerogeneratore tipo Siemens Gamesa SG 6.0 – 170. Il documento « D2370721-004 SGRE ON SG 6.0-170 Foundation loads T115-50A.pdf» - preparato dal costruttore delle WTG - riporta gli scarichi in fondazione derivanti dall'aerogeneratore, in accordo con le indicazioni della norma [5]. I valori dei carichi, non fattorizzati, sono riportati nelle successive tabelle e, pertanto ad essi sono da applicare i "Partial Load Factor" in accordo con quanto riportato nella tabella 3 al § 7.6.2.1 della norma [5].



**Figura 10: Simboli e segni adottati nelle successive tabelle fornite dal fabbricante degli aerogeneratori**

**Extreme load**

The extreme loads for the design of the SG 6.0-170 T115-50A foundations are shown in Table 3.

| Load case            | Load factor | $F_x$ (kN) | $F_y$ (kN) | $F_z$ (kN) | $F_{xy}$ (kN) | $M_x$ (kNm) | $M_y$ (kNm) | $M_z$ (kNm) | $M_{xy}$ (kNm)   |
|----------------------|-------------|------------|------------|------------|---------------|-------------|-------------|-------------|------------------|
| Dlc22_3bn_V11.0_n_s7 | 1,1         | 1688,55    | 55,55      | -7508,71   | 1689,47       | 4580,25     | 196184,46   | 412,39      | <b>196237,91</b> |
| Dlc22_3bn_V11.0_n_s7 | 1.0         | 1535,05    | 50,5       | -6826,1    | 1535,88       | 4163,87     | 178349,5    | 374,9       | <b>178398,1</b>  |

Table 3 SG 6.0-170 HH115m Factored/Unfactored Extreme loads at tower bottom

The loads provided by Siemens Gamesa as "Extreme Loads" in this section are the maximum static loads for the specific wind turbine calculated according to IEC 61400 or DIBt standard for each site class. These loads must not be combined with any other type of load. They include the dynamic behaviour of the structure and correspond to the most unfavourable case at the base of the wind turbine among the different load cases, according to IEC 61400 or DIBt. Therefore, the loads provided by Siemens Gamesa as "Extreme Loads" are directly the foundation design loads. They shall not be divided or combined with any other load.

**Characteristic load**

Characteristics loads (maximum  $M_{xy}$  bending moment load combination of groups N, E and T according to GL2012 Sec. 5.4.3.1.3, or equivalent groups N-T according to IEC 61400-1 2006) have been estimated as shown in Table 4:

| Load case          | $F_x$ (kN) | $F_y$ (kN) | $F_z$ (kN) | $F_{xy}$ (kN) | $M_x$ (kNm) | $M_y$ (kNm) | $M_z$ (kNm) | $M_{xy}$ (kNm)  |
|--------------------|------------|------------|------------|---------------|-------------|-------------|-------------|-----------------|
| Dlc62_V42.5_060_s9 | 1535,05    | 50,5       | -6826,1    | 1535,88       | 4163,87     | 178349,5    | 374,9       | <b>178398,1</b> |

Table 4 SG 6.0-170 HH115m Characteristics Loads at the base of the tower

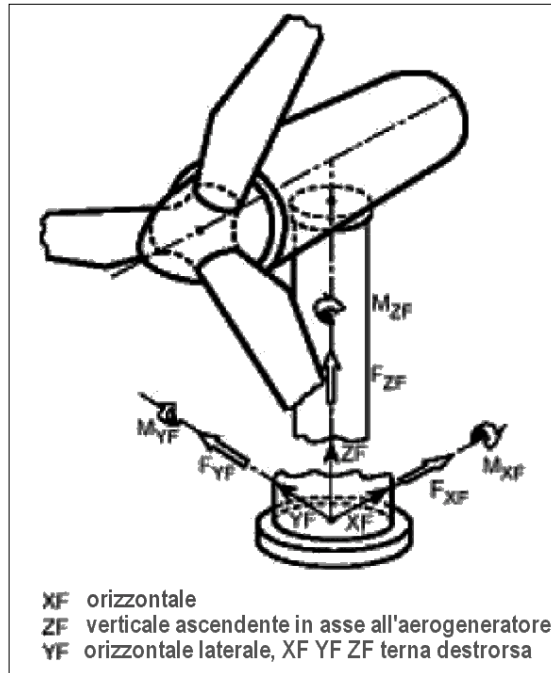
**Quasi-permanent load**

Loads according to GL2010, considering DLC 1.1 and 6.4 with a probability of exceedance of  $pf = 10^{-2}$  (equivalent to 1750 h in 20 years) with  $\gamma_F = 1.0$  have been estimated as shown in Table 5:

| pf=0.01000                     | Tower loads at section |            |               |            |             |             |                  |             |
|--------------------------------|------------------------|------------|---------------|------------|-------------|-------------|------------------|-------------|
| Section Height from bottom (m) | $F_x$ (KN)             | $F_y$ (KN) | $F_{xy}$ (KN) | $F_z$ (KN) | $M_x$ (KNm) | $M_y$ (KNm) | $M_{xy}$ (KNm)   | $M_z$ (KNm) |
| 0                              | 1002,07                | 123,15     | 1002,48       | -6629,52   | 18223,36    | 119459,49   | <b>119805,99</b> | 4928,71     |

Table 5 SG 6.0-170 HH115m Quasi Permanent Loads at tower bottom

**Tabella 7.5: Scarichi in fondazione forniti sa Siemens Gamesa secondo [5]**

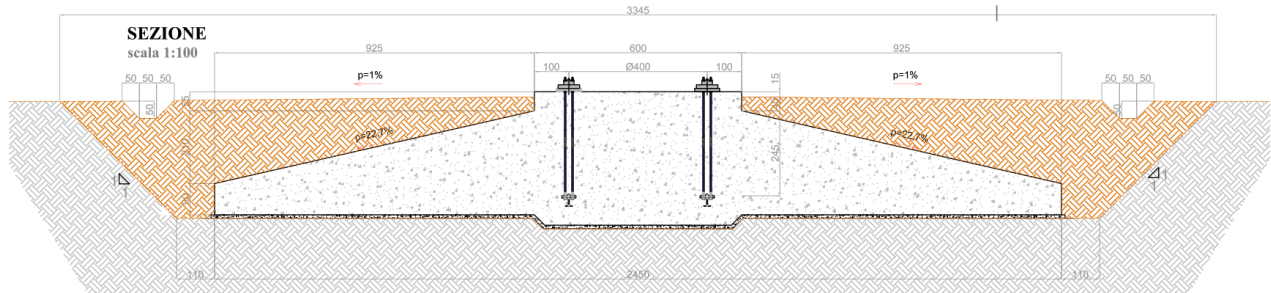


**Figura 11: Simbologia adottata nell'analisi dei carichi e nelle verifiche**

Oltre a queste azioni si sono considerate quelle derivanti dal peso proprio della struttura di fondazione e dal peso del terreno di riempimento.

## 8. SOLUZIONE 1: FONDAZIONE DIRETTA

La fondazione di tipo 1 è in calcestruzzo armato, con pianta di forma circolare di diametro  $D_e = 24,50$  m, spessore variabile da un minimo (sul bordo esterno) ad un massimo in corrispondenza della zona centrale di attacco della parte in elevazione della torre.



**Figura 12: Geometria della fondazione diretta dell'aerogeneratore**

| GEOMETRIA FONDAZIONE                               |         |
|--|---------|
| <b>Diametro esterno fondazione</b>                 | 24,50 m |
| <b>Diametro esterno piedistallo</b>                | 6,00 m  |
| <b>Spessore fondazione al bordo esterno</b>        | 0,90 m  |
| <b>Spessore massimo della suola di fondaz.</b>     | 3,00 m  |
| <b>Scalino esterno del piedistallo</b>             | 0,55 m  |
| <b>Ringrosso inferiore plinto (zona centrale)</b>  | 0,30 m  |
| <b>Diametro zona di ringrosso inferiore plinto</b> | 6,00 m  |
| <b>Altezza massima piedistallo</b>                 | 3,55 m  |
| <b>Spessore minimo di ricoprimento fondaz.</b>     | 0,40 m  |
| <b>Pendenza profilo terra di ricoprimento</b>      | 1,00%   |
| <b>Pendenza estradosso fondazione</b>              | 22,70%  |

**Tabella 6: Geometria del plinto**

La parte più alta del plinto, cioè la zona centrale indicata come piedistallo, emerge dal terreno post-sistemazione di 15 cm (tenuto conto della pendenza del riempimento). Lo spessore minimo del plinto, sul perimetro, è di 90 cm.

### 8.1. PESO PROPRIO DELLA FONDAZIONE

Il peso del plinto di fondazione è pari a 21.489,75 kN.

### 8.2. PESO PROPRIO DEL RIEMPIMENTO

E' previsto un ritombamento al di sopra e a fianco del plinto di fondazione, da realizzarsi con materiale drenante di buone caratteristiche meccaniche. Si assume un peso di volume pari a  $18 \text{ kN/m}^3$ , e si assegna questo peso come pressione verticale secondo quanto riportato nella figura seguente.

| Raggio Interno | Raggio Esterno | Area Corona       | Peso ricoprimento su singolo anello | q ricoprimento       |
|----------------|----------------|-------------------|-------------------------------------|----------------------|
| [m]            | [m]            | [m <sup>2</sup> ] | [kN]                                | [kN/m <sup>2</sup> ] |
| 3,00           | 4,85           | 45,60             | 506,30                              | 11,10                |
| 4,85           | 6,70           | 67,09             | 1223,97                             | 18,24                |
| 6,70           | 8,55           | 88,59             | 2252,46                             | 25,43                |
| 8,55           | 10,40          | 110,08            | 3591,78                             | 32,63                |
| 10,40          | 12,25          | 131,57            | 5241,91                             | 39,84                |

**Figura 8.13: Carico del riempimento**

La risultante del peso del riempimento vale 12.522,09 kN.

### 8.3. RIEPILOGO CONDIZIONI DI CARICO

| SCARICHI IN CONDIZIONI ESTREME (IEC 64100) | Fx<br>[kN] | Fy<br>[kN] | Fz<br>[kN] | Mx<br>[kNm] | My<br>[kNm] | Mz<br>[kNm] |
|--|------------|------------|------------|-------------|-------------|-------------|
| Normal[Fc=1,35]                            | 2.072,32   | 68,18      | -9.215,24  | 5.621,22    | 240.771,83  | 506,12      |
| Abnormal[Fc=1,1]                           | 1.688,56   | 55,55      | -7.508,71  | 4.580,26    | 196.184,45  | 412,39      |

| SCARICHI IN CONDIZIONI NORMAL (IEC 64100) | Fx<br>[kN] | Fy<br>[kN] | Fz<br>[kN] | Mx<br>[kNm] | My<br>[kNm] | Mz<br>[kNm] |
|---|------------|------------|------------|-------------|-------------|-------------|
| Normal                                    | 1.535,05   | 50,50      | -6.826,10  | 4.163,87    | 178.349,50  | 374,90      |
| Abnormal                                  | 1.535,05   | 50,50      | -6.826,10  | 4.163,87    | 178.349,50  | 374,90      |

| SCARICHI COND. OPERAZIONALI (IEC 64100) | Fxy<br>[kN] | Fz<br>[kN] | Mxy<br>[kNm] | Mz<br>[kNm] |          |
|---|-------------|------------|--------------|-------------|----------|
| Operational                             |             | 1.002,48   | -6.629,52    | 119.805,99  | 4.928,71 |

**Tabella 8.7: Riepilogo delle condizioni di carico secondo la convenzione di cui alla** *Errore. L'origine riferimento non è stata trovata.*

### 8.4. VERIFICHE GLOBALI / GEOTECNICHE

#### 8.4.1. COMBINAZIONI DI CARICO E FATTORI DI SICUREZZA

Nella tabelle a seguire si riporta un riepilogo dei fattori parziali, dei coefficienti e fattori di sicurezza.

| Verifica       |               | CdC N. | Tipo di combinazione |          |               | Fattore di Sicurezza |
|----------------|---------------|--------|----------------------|----------|---------------|----------------------|
| GEO (abnormal) | Carico limite | 1      | Approccio 2          | A1+M1+R3 | Abnormal SLU2 | 1,85                 |
|                | Carico limite | 2      | Approccio 2          | A1+M1+R3 | Abnormal SLU1 | 1,75                 |
|                | Scorrimento   | 3      | Approccio 2          | A1+M1+R3 | Abnormal SLU2 | 8,98                 |
| GEO (normal)   | Carico limite | 4      | Approccio 2          | A1+M1+R3 | Normal SLU2   | 1,17                 |
|                | Carico limite | 5      | Approccio 2          | A1+M1+R3 | Normal SLU1   | 1,35                 |

|     |              |    |             |               |             |      |
|-----|--------------|----|-------------|---------------|-------------|------|
|     | Scorrimento  | 6  | Approccio 2 | A1+M1+R3      | Normal SLU2 | 7,00 |
| EQU | Ribaltamento | 7  | IEC         | normal case   | Normal EQU  | 1,62 |
|     |              | 8  | IEC         | abnormal case | Abnorm.EQU  | 2,20 |
|     | Sollevamento | 9  | IEC         | normal case   | Normal      | 1,61 |
|     |              | 10 | IEC         | abnormal case | Abnormal    | 1,61 |
|     |              | 11 | IEC         |               | Operational | 1,02 |

**Tabella 8.8: Riepilogo delle verifiche geotecniche e globali e relativi coefficienti di sicurezza (F.S.)**

#### 8.4.2. GAPPING

La verifica di GAPPING è condotta assumendo che in combinazione 11 si abbia un'impronta sul terreno pari al 100 % dell'area di sedime del plinto. Per le combinazioni 9 e 10 si assume, invece, che l'impronta possa ridursi fino al 50% dell'area. Per garantire il 100% di sezione reagente occorre che la risultante abbia un'eccentricità massima non superiore a 0,125 De - essendo De pari al diametro del plinto - mentre per garantire che la porzione compressa sia non inferiore al 50% dell'area di base del plinto occorre limitare l'eccentricità a 0,294 De. Di seguito si riportano le verifiche di GAPPING rispetto alla combinazione 11 - GAP, 9 - Normal e 10 - Abnormal, tutte non fattorizzate <sup>(1)</sup>.

| SCARICHI AEROGENERATORE - NON FATTORIZZATI                 |             |            |            |
|--|-------------|------------|------------|
| Azione   | Operational | Normal     | Abnormal   |
| <b>Fz</b>  | 6.629,52    | 6.826,10   | 6.826,10   |
| <b>Fxy</b>   | 1.002,48    | 1.535,88   | 1.535,88   |
| <b>Mxy</b>   | 119.805,99  | 178.398,10 | 178.398,10 |
| AZIONI RISULTANTI INTRADOSSO FONDAZIONE - NON FATTORIZZATE |             |            |            |
| Azione   | Operational | Normal     | Abnormal   |
| <b>Fz</b>  | 41.125,09   | 41.321,67  | 41.321,67  |
| <b>Fxy</b>   | 1.002,48    | 1.535,88   | 1.535,88   |
| <b>Mxy</b>   | 123.713,66  | 184.384,96 | 184.384,96 |

**Tabella 8.9: Analisi scarichi in fondazione ad estradosso e intradosso plinto**

#### COEFFICIENTI PARZIALI

| CdC                | Peso proprio | Riempimento | Fz   | H    | M    |
|--------------------|--------------|-------------|------|------|------|
| <b>Operational</b> | 1,00         | 1,00        | 1,00 | 1,00 | 1,00 |
| <b>Normal</b>      | 1,00         | 1,00        | 1,00 | 1,00 | 1,00 |
| <b>Abnormal</b>    | 1,00         | 1,00        | 1,00 | 1,00 | 1,00 |

#### VERIFICA DI PARZIALIZZAZIONE DELLA FONDAZIONE

| Eccentricity | Operational | Normal | Abnormal |
|--------------|-------------|--------|----------|
| e [m]        | 3,01        | 4,46   | 4,46     |

(1) Così come richiesto dalle linee guida [6]

|               |        |       |       |
|---------------|--------|-------|-------|
| (e / D)       | 0,123  | 0,182 | 0,182 |
| (e / D) max   | 0,125  | 0,294 | 0,294 |
| <b>Checks</b> |        |       |       |
| FS            | 1,0180 | 1,614 | 1,614 |

**Tabella 8.10: Coefficienti parziali e verifica di Gapping**

#### 8.4.3. RIBALTAMENTO

La verifica a ribaltamento è dettagliata nelle seguenti tabelle.

| CdC        | Peso proprio | Riempimento | Fz   | H    | M    |
|------------|--------------|-------------|------|------|------|
| Normal EQU | 0,90         | 0,90        | 0,80 | 1,50 | 1,50 |
| Abnor. EQU | 0,90         | 0,90        | 0,80 | 1,10 | 1,10 |

**Tabella 8.11: Coefficienti di combinazione per la verifica a ribaltamento**

|                               | Normal EQU | Abnor. EQU |
|-------------------------------|------------|------------|
| <b>Mo (overturning) [kNm]</b> | 276.577,44 | 202.823,46 |
| <b>Ms (stabilizing) [kNm]</b> | 447.209,44 | 447.209,44 |
| <b>FS = Ms / Mo</b>           | 1,617      | 2,205      |

**Tabella 8.12: Verifica a ribaltamento**

#### 8.4.4. CARICO LIMITE

Le verifiche a carico limite sono dettagliate nelle successive tabelle. Si è adottato il metodo di verifica di cui all'appendice D di [4] (Eurocodice 7).

| SCARICHI DI PROGETTO PER VERIFICHE DI PORTANZA |              |             |            |            |      |
|--|--------------|-------------|------------|------------|------|
|  | Peso proprio | Riempimento | Fz         | H          | M    |
| Normal SLU2                                    | 1,00         | 1,00        | 1,50       | 0,80       | 1,50 |
| Normal SLU1                                    | 1,30         | 1,30        | 0,00       | 1,50       | 1,50 |
| Abnormal 2                                     | 1,00         | 1,00        | 1,50       | 0,80       | 1,10 |
| Abnormal 1                                     | 1,30         | 1,30        | 0,00       | 1,50       | 1,10 |
| FOUNDATION BOTTOM                              |              |             |            |            |      |
|  | Normal SLU2  | Normal SLU1 | Abnormal 2 | Abnormal 1 |      |
| Fz   | 39.956,45    | 55.083,39   | 39.956,45  | 55.083,39  |      |
| Fxy  | 2.303,82     | 2.303,82    | 1.689,47   | 1.689,47   |      |
| Mxy  | 276.577,44   | 276.577,44  | 202.823,46 | 202.823,46 |      |
| Fz undrained                                   | 39.956,45    | 55.083,39   | 39.956,45  | 55.083,39  |      |

**Tabella 8.13: Analisi scarichi in fondazione**

| CdC                  | Q <sub>rd</sub> (kPA) | Q <sub>sd</sub> (kPA) | FS    |        |
|----------------------|-----------------------|-----------------------|-------|--------|
| <b>Normal SLU1</b>   | 441                   | 237                   | 1,862 | > 1 OK |
| <b>Normal SLU2</b>   | 382                   | 264                   | 1,448 | > 1 OK |
| <b>Abnormal SLU1</b> | 451                   | 174                   | 2,537 | > 1 OK |
| <b>Abnormal SLU2</b> | 441                   | 188                   | 2,579 | > 1 OK |

**Tabella 8.14: Verifica a carico limite in condizioni drenate – Per tutte le combinazioni**

| CdC           | Q <sub>rd</sub> (kPA) | Q <sub>sd</sub> (kPA) | FS    |        |
|---------------|-----------------------|-----------------------|-------|--------|
| Normal SLU1   | 320                   | 237                   | 1,350 | > 1 OK |
| Normal SLU2   | 310                   | 264                   | 1,175 | > 1 OK |
| Abnormal SLU1 | 322                   | 174                   | 1,851 | > 1 OK |
| Abnormal SLU2 | 327                   | 188                   | 1,745 | > 1 OK |

**Tabella 8.15: Verifica a carico limite in condizioni non drenate – Per tutte le combinazioni**

#### 8.4.5. SLITTAMENTO

Di seguito di dettaglio la verifica a slittamento.

| SCARICHI DI PROGETTO PER VERIFICHE A SLITTAMENTO |              |             |            |      |      |
|--|--------------|-------------|------------|------|------|
|  | Peso proprio | Riempimento | Fz         | H    | M    |
| Normal SLU2                                      | 1,00         | 1,00        | 1,50       | 0,80 | 1,50 |
| Abnormal 2                                       | 1,00         | 1,00        | 1,50       | 0,80 | 1,10 |
| FOUNDATION BOTTOM                                |              |             |            |      |      |
|  | Normal SLU2  |             | Abnormal 2 |      |      |
| Fz   | 39.956,45    |             | 39.956,45  |      |      |
| Fxy  | 2.303,82     |             | 1.689,47   |      |      |
| Mxy  | 276.577,44   |             | 202.823,46 |      |      |

**Tabella 8.16: Analisi scarichi in fondazione**

| VALUTAZIONE DELLA RESISTENZA A SLITTAMENTO |                  |   |                   |                |
|--|------------------|---|-------------------|----------------|
|  |                  | Condition   | Soil parameters   | Load comb.     |
| SLIDING CHECK                              |                  | undrained   | STR.-01 - Layer 1 | Normal SLU2    |
| Undrained cohesion                         | C <sub>u</sub>   |   | 123               | kPa            |
| Design bending moment                      | M <sub>xy</sub>  |   | 276.577           | kNm            |
| Design torque moment                       | M <sub>z</sub>   |   | 843,53            | kNm            |
| Design vertical load                       | F <sub>z</sub>   |   | 39.956            | kN             |
| Design tangential load                     | H                |   | 2.304             | kN             |
| Radius                                     | R                |   | 12,25             | m              |
| Eccentricity                               | e                | M <sub>xy</sub> /F <sub>z</sub>   | 6,92              | m              |
| Ellipse minor axes                         | B <sub>e</sub>   | 2*(R-e)   | 10,66             | m              |
| Ellipse major axes                         | L <sub>e</sub>   | 2 R [1-(1-B <sub>e</sub> /2R) <sup>2</sup> ] <sup>1/2</sup>   | 20,21             | m              |
| Effective loaded area                      | A <sub>eff</sub> | 2*[R <sup>2</sup> arccos(e/R)-e*(R <sup>2</sup> - e <sup>2</sup> ) <sup>1/2</sup> ]                                       | 151,29            | m <sup>2</sup> |
| Effective length                           | L <sub>eff</sub> | (A <sub>eff</sub> *L <sub>e</sub> /B <sub>e</sub> ) <sup>1/2</sup>  | 16,94             | m              |
| Effective width                            | B <sub>eff</sub> | L <sub>eff</sub> *B <sub>e</sub> /L <sub>e</sub>  | 8,93              | m              |
| Horizontal force                           | H'               | 2*M <sub>z</sub> /L <sub>eff</sub> + [H <sup>2</sup> +(2*M <sub>z</sub> /L <sub>eff</sub> ) <sup>2</sup> ] <sup>1/2</sup> | 2.405,56          | kN             |
| Friction angle                             | φ'               |   | 23,3°             |                |
| Struct.-ground friction                    | δ'               |   | 23,3°             |                |
| Undrained adhesion                         | C <sub>a</sub>   |   | 123               | kPa            |
| Resistance factor                          | γ <sub>R</sub>   |   | 1,100             |                |
| Design sliding resist.                     | R <sub>d</sub>   | A <sub>eff</sub> C <sub>a</sub> / γ <sub>R</sub> =  | 16.848            | kN             |
| Sliding check                              | FS               | 16848,19 / 2405,56 =  | 7,004             | > 1 OK         |

**Tabella 8.17: Verifica a slittamento – Combinazione Normal SLU 2**

| SLIDING CHECK           |                  | Condition   | Soil parameters   | Load comb.            |
|-------------------------|------------------|---|-------------------|-----------------------|
|                         |                  | drained   | STR.-01 - Layer 1 | Abnormal SLU          |
| Cohesion                | c'               |   |                   | 7 kPa                 |
| Design bending moment   | M <sub>xy</sub>  |   |                   | 202.823 kNm           |
| Design torque moment    | M <sub>z</sub>   |   |                   | 453,63 kNm            |
| Design vertical load    | F <sub>z</sub>   |   |                   | 39.956 kN             |
| Design tangential load  | H                |   |                   | 1.689 kN              |
| Radius                  | R                |   |                   | 12,25 m               |
| Eccentricity            | e                | M <sub>xy</sub> /F <sub>z</sub>   |                   | 5,08 m                |
| Ellipse minor axes      | B <sub>e</sub>   | 2*(R-e)   |                   | 14,35 m               |
| Ellipse major axes      | L <sub>e</sub>   | 2 R [1-(1-B <sub>e</sub> /2R) <sup>2</sup> ] <sup>1/2</sup>   |                   | 22,30 m               |
| Effective loaded area   | A <sub>eff</sub> | 2*[R <sup>2</sup> arccos(e/R)-e*(R <sup>2</sup> - e <sup>2</sup> ) <sup>1/2</sup> ]                                       |                   | 230,02 m <sup>2</sup> |
| Effective length        | L <sub>eff</sub> | (A <sub>eff</sub> *L <sub>e</sub> /B <sub>e</sub> ) <sup>1/2</sup>  |                   | 18,91 m               |
| Effective width         | B <sub>eff</sub> | L <sub>eff</sub> *B <sub>e</sub> /L <sub>e</sub>  |                   | 12,17 m               |
| Horizontal force        | H'               | 2*M <sub>z</sub> /L <sub>eff</sub> + [H <sup>2</sup> +(2*M <sub>z</sub> /L <sub>eff</sub> ) <sup>2</sup> ] <sup>1/2</sup> |                   | 1.738,14 kN           |
| Friction angle          | φ'               |   |                   | 23,3°                 |
| Struct.-ground friction | δ'               |   |                   | 23,3°                 |
| Adhesion                | c <sub>a</sub>   |   |                   | 0 kPa                 |
| Resistance factor       | γ <sub>R</sub>   |   |                   | 1,100                 |
| Design sliding resist.  | R <sub>d</sub>   | [F <sub>z</sub> tan(δ) + A <sub>eff</sub> c <sub>a</sub> ] / γ <sub>R</sub> =   |                   | 15.606 kN             |
| Sliding check           | FS               | 15606,04 / 1738,14 =  |                   | 8,979 > 1 OK          |

**Tabella 8.18: Verifica a slittamento – Combinazione Abnormal SLU 2**

#### 8.4.6. VALUTAZIONE MODULO DI REAZIONE (WINKLER)

| VALUTAZIONE MODULO DI REAZIONE SOTTOFONDO (WINKLER) |                |  |                            |
|---|----------------|--|----------------------------|
| n. stratigraphy                                     |                | <input checked="" type="radio"/> on stratum over bedrock<br><input type="radio"/> on stratum over half-space<br><input type="radio"/> embedded in stratum over bedrock |                            |
| Parameter   | Symbol         | Expression / note  | Value                      |
| Static shear modulus                                | G              |  | 8,33 N/mm <sup>2</sup>     |
| Static Young modulus                                | E              |  | 25,00 N/mm <sup>2</sup>    |
| Poisson ratio                                       | ν              |  | 0,50 -                     |
| Foundation radius                                   | R              |  | 12,25 m                    |
| Thickness of layer                                  | H              |  | 40,00 m                    |
|   | α <sub>r</sub> | (for circular rigid foundation)  | -                          |
| Winkler modulus                                     | K <sub>w</sub> | $\frac{4GR}{1-\nu} \left(1 + 1.28 \frac{R}{H}\right) \frac{1}{\pi R^2}$  | 2.411,36 kN/m <sup>3</sup> |

**Tabella 8.19: Valutazione della costante di Winkler**

#### 8.4.7. VALUTAZIONE DEI CEDIMENTI

I cedimenti medio e differenziale in combinazione SLE Rara (Normal) sono valutati attraverso

il metodo semplificato.

Si assume che il cedimento medio sia pari al rapporto tra la pressione media e la costante di Winkler di cui al punto precedente. La pressione media, sulla base dell'analisi di carichi esposta ai punti precedenti, vale:

$$Q_{MEDIA,SLE R} = 55.083,39 / (3,1415 * 12,25^2) = 116,90 \text{ kN/m}^2$$

Pertanto il cedimento medio atteso, se si escludono gli effetti legate alle pressioni efficaci litostatiche (dovute, in sostanza, al peso del terreno di scavo rimosso), vale:

$$\text{Cedimento elastico medio atteso} = 100 * 119,04 / 2.411,36 \approx 4,85 \text{ cm.}$$

Questa valutazione si basa, oltre che sul modello di terreno alla Winkler, sull'ipotesi di fondazione deformabile (rispetto al terreno), dunque in grado di trasmettere un campo di pressioni di contatto con andamento quasi lineare.

Il cedimento differenziale massimo atteso, sempre in combinazione rara, è valutato secondo Bowles:

| Parameter            | Symbol         | Expression / note   | Value                   |
|----------------------|----------------|---|-------------------------|
| Poisson ratio        | $\nu$          |   |                         |
| Static Young modulus | E              | (Layer 1)   | 25,00 N/mm <sup>2</sup> |
|                      |                | (Layer 2)   | 0,00 N/mm <sup>2</sup>  |
|                      |                | (mean value)  | 25,00 N/mm <sup>2</sup> |
| Thickness of Layer 1 | t1             | (Layer 1)   | 40,00 m                 |
| Bending moment       | M              | (Rare)  | 184.384,96 kNm          |
| Influence factor     | $I_{\theta}$   | (rigid circular spread foundation)                              | 5,53                    |
| Static rotation      | $\tan(\theta)$ | $\tan(\theta) = \frac{(1-\nu^2)}{E} \frac{M}{B^2 L} I_{\theta}$ | 2,52 mm/m               |

**Tabella 8.20: Valutazione del cedimento massimo differenziale (rotazione) in combinazione SLE rara**

Pertanto il cedimento medio vale 49,3 mm mentre la rotazione vale 2,52 mm/m (61,74 mm per D=24,5m).

Con riferimento alla trattazione di Sowers (1962), si può assumere per strutture assimilabili a WTG (ciminiere e silos), un valore ammissibile del cedimento tra 75 e 130 mm, mentre come cedimento rotazionale, un valore di 0,004D (nel caso in esame 98mm). L'analisi ha perciò evidenziato che nel caso in esame i valori dei cedimenti sono assolutamente compatibili con la funzionalità delle strutture in elevazione.

#### 8.4.8. VALUTAZIONE DELLA RIGIDEZZA ROTAZIONALE DINAMICA

Si riporta a seguire la valutazione della rigidezza rotazionale dinamica e la relativa verifica

rispetto al valore minimo richiesto dal fabbricante della torre. La rigidità rotazionale dinamica è assunta pari a:

$$K_r = 8 G_{dyn} R^3 / [3 (1-\nu)]$$

-  $G_{dyn}$  = modulo a taglio dinamico di progetto

-  $R$  = raggio del plinto

-  $\nu$  = coefficiente di Poisson

Per il calcolo del modulo a taglio dinamico si fa riferimento alla velocità delle onde di taglio ( $V_s$ ) del sottosuolo, mediata sulla profondità significativa in funzione delle pressioni indotte dai carichi.

Si adotta la formula  $G_{dyn} = 0.35 \rho \langle V_s \rangle^2$  in cui  $\langle V_s \rangle$  il valore medio ponderato della velocità delle onde di taglio e  $\rho$  la densità media del sottosuolo. Nel caso in esame la  $\langle V_s \rangle$  è stata assunta conservativamente pari al valore minimo della velocità equivalente delle onde a taglio valutate nell'ambito delle indagini geofisiche esecutive MASW di cui alla relazione geologica.

|  |                         |                                      |                         |
|--|-------------------------|--------------------------------------|-------------------------|
| Soil density                             | $\rho =$                |                                      | 2,02 kg/dm <sup>3</sup> |
| Shear wave velocity (design value)       | $\langle V_s \rangle =$ |                                      | 217,02 m/s              |
| Poisson ratio                            | $\nu =$                 |                                      | 0,50                    |
| Dynamic shear modulus ( $\gamma=0.001$ ) | $G_{dyn} =$             | $0,35 * 2,02 * 217,02^2 / 1000 =$    | 33,30 N/mm <sup>2</sup> |
| Foundation radius                        | $R =$                   |                                      | 12,25 m                 |
| Rotational stiffness                     | $K_r =$                 | $8 * 33,3 * 12,25^3 / 3 / (1-0,5) =$ | 326.467,83 MNm/rad      |
| Min required $K_r$ (from manufacturer)   | $K_{r,min} =$           |                                      | 150.000,00 MNm/rad      |
| CHECK                                    |                         |                                      | OK                      |

## 9. SOLUZIONE 2: FONDAZIONE SU PALI

La fondazione di tipo 2 è in calcestruzzo armato, con pianta di forma circolare di diametro  $D_e = 21,00$  m, spessore variabile da un minimo (sul bordo esterno) ad un massimo in corrispondenza della zona centrale di attacco della parte in elevazione della torre.

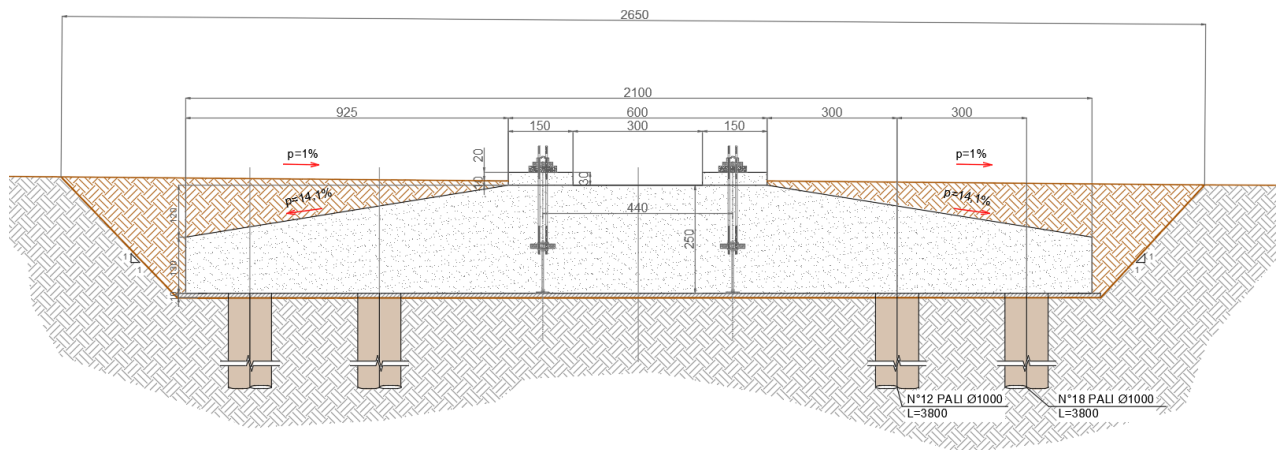


Figura 14: Geometria della fondazione su pali dell'aereogeneratore

| GEOMETRIA FONDAZIONE                        |         |
|---|---------|
| Diametro esterno fondazione                 | 21,00 m |
| Diametro esterno piedistallo                | 6,00 m  |
| Spessore fondazione al bordo esterno        | 1,30 m  |
| Spessore massimo della suola di fondaz.     | 3,00 m  |
| Scalino esterno del piedistallo             | 0,55 m  |
| Ringrosso inferiore plinto (zona centrale)  | 0,30 m  |
| Diametro zona di ringrosso inferiore plinto | 6,00 m  |
| Altezza massima piedistallo                 | 3,55 m  |
| Spessore minimo di ricoprimento fondaz.     | 0,40 m  |
| Pendenza profilo terra di ricoprimento      | 1,00%   |
| Pendenza estradosso fondazione              | 22,70%  |
| Numero Pali                                 | 30      |
| Raggio Corona interna                       | 6       |
| Numero Pali corona interna                  | 12      |
| Raggio Corona esterna                       | 9       |
| Numero Pali corona esterna                  | 18      |

Tabella 21: Geometria del plinto

La parte più alta del plinto, cioè la zona centrale indicata come piedistallo, emerge dal terreno post-sistemazione di 15 cm (tenuto conto della pendenza del riempimento). Lo spessore minimo del plinto, sul perimetro, è di 1,30 cm. Sono previste due corone di pali, la più interna,

con raggio 6 m, prevede 12 pali, la più esterna, con raggio 9 m, prevede 18 pali. I pali previsti hanno diametro 1 m e lunghezza 38m.

### 9.1. PESO PROPRIO DELLA FONDAZIONE

Il peso del plinto di fondazione è pari a 18.566,81 kN.

### 9.2. PESO PROPRIO DEL RIEMPIMENTO

E' previsto un ritombamento al di sopra e a fianco del plinto di fondazione, da realizzarsi con materiale drenante di buone caratteristiche meccaniche. Si assume un peso di volume pari a 18 kN/m<sup>3</sup>, e si assegna questo peso come pressione verticale secondo quanto riportato nella figura seguente.

| Raggio Interno | Raggio Esterno | Area Corona       | Peso ricoprimento su singolo anello | q ricoprimento       |
|----------------|----------------|-------------------|-------------------------------------|----------------------|
| [m]            | [m]            | [m <sup>2</sup> ] | [kN]                                | [kN/m <sup>2</sup> ] |
| 3,00           | 4,50           | 35,36             | 365                                 | 10,32                |
| 4,50           | 6,00           | 49,47             | 797                                 | 16,11                |
| 6,00           | 7,5            | 63,61             | 1.395                               | 21,93                |
| 7,5            | 9,00           | 77,77             | 2.159                               | 27,76                |
| 9,00           | 10,5           | 91,90             | 3.088                               | 33,60                |

**Figura 9.15: Carico del riempimento**

La risultante del peso del riempimento vale 7.628,8 kN.

### 9.3. RIEPILOGO CONDIZIONI DI CARICO

| SCARICHI IN CONDIZIONI ESTREME (IEC 64100) | Fx<br>[kN] | Fy<br>[kN] | Fz<br>[kN] | Mx<br>[kNm] | My<br>[kNm] | Mz<br>[kNm] |
|--|------------|------------|------------|-------------|-------------|-------------|
| Normal[Fc=1,35]                            | 2.072,32   | 68,18      | -9.215,24  | 5.621,22    | 240.771,83  | 506,12      |
| Abnormal[Fc=1,1]                           | 1.688,56   | 55,55      | -7.508,71  | 4.580,26    | 196.184,45  | 412,39      |

| SCARICHI IN CONDIZIONI NORMAL (IEC 64100) | Fx<br>[kN] | Fy<br>[kN] | Fz<br>[kN] | Mx<br>[kNm] | My<br>[kNm] | Mz<br>[kNm] |
|---|------------|------------|------------|-------------|-------------|-------------|
| Normal                                    | 1.535,05   | 50,50      | -6.826,10  | 4.163,87    | 178.349,50  | 374,90      |
| Abnormal                                  | 1.535,05   | 50,50      | -6.826,10  | 4.163,87    | 178.349,50  | 374,90      |

| SCARICHI COND. OPERAZIONALI (IEC 64100) | Fxy<br>[kN] | Fz<br>[kN] | Mxy<br>[kNm] | Mz<br>[kNm] |          |
|---|-------------|------------|--------------|-------------|----------|
| Operational                             |             | 1.002,48   | -6.629,52    | 119.805,99  | 4.928,71 |

**Tabella 9.22: Riepilogo delle condizioni di carico secondo la convenzione di cui alla** Errore. L'origine riferimento non è stata trovata.

9.4. **AZIONI RISULTATI ALL'INTRADOSSO DELLA FONDAZIONE**

| AZIONI ALL'INTRADOSSO DELLA FONDAZIONE<br>NON FATTORIZZATE | Fxy<br>[kN] | Fz<br>[kN] | Mxy<br>[kNm] |
|--|-------------|------------|--------------|
| Operational  | 1.002,48    | 32.825,10  | 123.713,66   |
| Normal   | 1.535,88    | 33.021,68  | 184.384,96   |
| Abnormal   | 1.535,88    | 33.021,68  | 184.384,96   |

| AZIONI ALL'INTRADOSSO DELLA FONDAZIONE<br>FATTORIZZATE | Fxy<br>[kN] | Fz<br>[kN] | Mxy<br>[kNm] |
|--|-------------|------------|--------------|
| Normal SLU2  | 2.303,82    | 31.656,46  | 276.577,44   |
| Normal SLU1  | 2.303,82    | 44.293,41  | 276.577,44   |
| Abnormal SLU2  | 1.689,47    | 31.656,46  | 202.823,46   |
| Abnormal SLU1  | 1.689,47    | 44.293,41  | 202.823,46   |

**Tabella 9.23:Riepilogo delle condizioni di carico secondo la convenzione di cui alla** Errore. L'origine riferimento non è stata trovata.

9.5. **ANALISI SCARICHI SUI PALI**

| AZIONI SUI PALI (N>0 COMPRESSIONE) | Fxy<br>[kN] | Fz<br>[kN] | Mxy<br>[kNm] |
|------------------------------------|-------------|------------|--------------|
| SOLLECITAZIONI                     | 2.303,82    | 44.293,41  | 276.577,44   |

**Tabella 9.24:Riepilogo delle condizioni di carico secondo la convenzione di cui alla** Errore. L'origine riferimento non è stata trovata.

| POSIZIONE PALI |        | dx     | dy     | d    | Wx      | Wy      | Ni [kN] | Ti [kN] |
|----------------|--------|--------|--------|------|---------|---------|---------|---------|
| X              | Y      |        |        |      |         |         |         |         |
| 9,000          | 0,000  | 9,000  | 0,000  | 9,00 |         | 105,00  | 1'476,4 | 76,8    |
| 8,457          | 3,078  | 8,457  | 3,078  | 9,00 | 307,00  | 111,74  | 2'377,3 | 76,8    |
| 6,894          | 5,785  | 6,894  | 5,785  | 9,00 | 163,35  | 137,07  | 3'169,7 | 76,8    |
| 4,500          | 7,794  | 4,500  | 7,794  | 9,00 | 121,24  | 209,99  | 3'757,7 | 76,8    |
| 1,563          | 8,863  | 1,563  | 8,863  | 9,00 | 106,62  | 604,58  | 4'070,6 | 76,8    |
| -1,563         | 8,863  | -1,563 | 8,863  | 9,00 | 106,62  | -604,58 | 4'070,6 | 76,8    |
| -4,500         | 7,794  | -4,500 | 7,794  | 9,00 | 121,24  | -209,99 | 3'757,7 | 76,8    |
| -6,894         | 5,785  | -6,894 | 5,785  | 9,00 | 163,35  | -137,07 | 3'169,7 | 76,8    |
| -8,457         | 3,078  | -8,457 | 3,078  | 9,00 | 307,00  | -111,74 | 2'377,3 | 76,8    |
| -9,000         | 0,000  | -9,000 | 0,000  | 9,00 |         | -105,00 | 1'476,4 | 76,8    |
| -8,457         | -3,078 | -8,457 | -3,078 | 9,00 | -307,00 | -111,74 | 575,5   | 76,8    |

| POSIZIONE PALI |        | dx     | dy     | d    | Wx      | Wy      | Ni [kN]  | Ti [kN] |
|----------------|--------|--------|--------|------|---------|---------|----------|---------|
| X              | Y      |        |        |      |         |         |          |         |
| -6,894         | -5,785 | -6,894 | -5,785 | 9,00 | -163,35 | -137,07 | -216,8   | 76,8    |
| -4,500         | -7,794 | -4,500 | -7,794 | 9,00 | -121,24 | -209,99 | -804,8   | 76,8    |
| -1,563         | -8,863 | -1,563 | -8,863 | 9,00 | -106,62 | -604,58 | -1'117,7 | 76,8    |
| 1,563          | -8,863 | 1,563  | -8,863 | 9,00 | -106,62 | 604,58  | -1'117,7 | 76,8    |
| 4,500          | -7,794 | 4,500  | -7,794 | 9,00 | -121,24 | 209,99  | -804,8   | 76,8    |
| 6,894          | -5,785 | 6,894  | -5,785 | 9,00 | -163,35 | 137,07  | -216,8   | 76,8    |
| 8,457          | -3,078 | 8,457  | -3,078 | 9,00 | -307,00 | 111,74  | 575,5    | 76,8    |
| -6,000         | 0,000  | -6,000 | 0,000  | 6,00 |         | -157,49 | 1'476,4  | 76,8    |
| -5,196         | -3,000 | -5,196 | -3,000 | 6,00 | -314,98 | -181,86 | 598,4    | 76,8    |
| -3,000         | -5,196 | -3,000 | -5,196 | 6,00 | -181,86 | -314,99 | -44,4    | 76,8    |
| 0,000          | -6,000 | 0,000  | -6,000 | 6,00 | -157,49 | -       | -279,7   | 76,8    |
| 3,000          | -5,196 | 3,000  | -5,196 | 6,00 | -181,86 | 314,99  | -44,4    | 76,8    |
| 5,196          | -3,000 | 5,196  | -3,000 | 6,00 | -314,98 | 181,86  | 598,4    | 76,8    |
| 6,000          | 0,000  | 6,000  | 0,000  | 6,00 |         | 157,49  | 1'476,4  | 76,8    |
| 5,196          | 3,000  | 5,196  | 3,000  | 6,00 | 314,98  | 181,86  | 2'354,5  | 76,8    |
| 3,000          | 5,196  | 3,000  | 5,196  | 6,00 | 181,86  | 314,99  | 2'997,3  | 76,8    |
| 0,000          | 6,000  | 0,000  | 6,000  | 6,00 | 157,49  | -       | 3'232,6  | 76,8    |
| -3,000         | 5,196  | -3,000 | 5,196  | 6,00 | 181,86  | -314,99 | 2'997,3  | 76,8    |
| -5,196         | 3,000  | -5,196 | 3,000  | 6,00 | 314,98  | -181,86 | 2'354,5  | 76,8    |

**Tabella 9.25: Riepilogo delle condizioni di carico sui singoli pali**

| SCARICHI SUI PALI (N>0 COMPRESSIONE) | N <sub>MAX</sub><br>[kN] | N <sub>MIN</sub><br>[kN] | T<br>[kN] |
|--------------------------------------|--------------------------|--------------------------|-----------|
| SCARICHI                             | 4.070,6                  | -1.117,7                 | 76,8      |

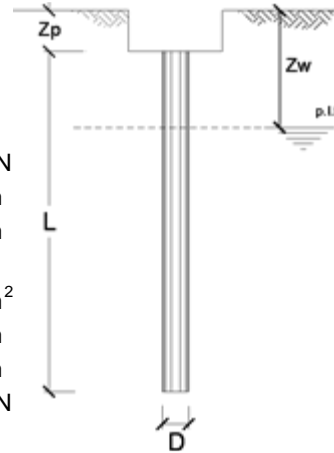
**Tabella 9.26: Riepilogo scarichi sui pali**

### 9.6. VERIFICHE DI PORTANZA ASSIALE DEI PALI

**CONSTRUCTION** PORTANZA DRENATA

**INPUT DATA**

|                                 |                |         |                |
|---------------------------------|----------------|---------|----------------|
| Load applied on pile top        | $N_d =$        | 4071.00 | kN             |
| Pile diameter                   | $D =$          | 1.00    | m              |
| Depth of pile from ground level | $z_p =$        | 3.00    | m              |
| Number of soil layers           |                | 1       |                |
| Pile cross-section area:        | $A_p =$        | 0.785   | m <sup>2</sup> |
| Water table from ground level   | $z_w =$        | 100.00  | m              |
| Pile length                     | $L =$          | 38.00   | m              |
| Pile weight                     | $W =$          | 746     | kN             |
| Adhesion coefficient            | $\alpha (a) =$ | 0.60    |                |



| Layer n. | Thickness of layer [m] | Name of layer | Soil parameters               |                           |             | Soil design parameters    |             |
|----------|------------------------|---------------|-------------------------------|---------------------------|-------------|---------------------------|-------------|
|          |                        |               | $\gamma$ [kN/m <sup>3</sup> ] | $c'$ [kN/m <sup>2</sup> ] | $\phi'$ (°) | $c'$ [kN/m <sup>2</sup> ] | $\phi'$ (°) |
| 1        | 100.00                 | 1             | 20.20                         | 10.0                      | 23.0        | 10.0                      | 23.0        |

**Standard**

Italian Std

Eurocodes

**Type of execution**

Driven piles steel sections

Driven piles precast r.c.

Driven piles cast in situ

Bored piles

Continuous flight auger piles

| Layer n. | Soil stresses |                                     | Effective thickness of layer [m] | Shaft resistance |              |                            |            |
|----------|---------------|-------------------------------------|----------------------------------|------------------|--------------|----------------------------|------------|
|          | $z^*$ (m)     | $\sigma_{vm}'$ (kN/m <sup>2</sup> ) |                                  | K                | $\delta$ (°) | $f_s$ (kN/m <sup>2</sup> ) | $F_s$ (kN) |
| 1        | 13.00         | 262.60                              | 38.00                            | 0.61             | 23.0         | 73.91                      | 8823.82    |

**Base resistance assessment**

Driven  Bored (Berezantev)  Bored (Vesic)  
 Bored (Berez. - Viggiani)  Bored (A.G.I. 1984)

**Partial factors  $\gamma_r$**

A1+M1+R1   
 A2+M1+R2   
 A1+M1+R3

Base resistance  $\gamma_b$  1.35  
 Shaft resistance  $\gamma_s$  1.15  
 Correlation factor  $\xi_3$  1.70  
 Transverse resistance  $\gamma_T$  1.30

$\phi' = 20.00^\circ$   $N_q = 2.61$   
 $c' = 10.00$  kN/m<sup>2</sup>  $N_c = 4.42$   
 $q_b' = 828.20$  kN/m<sup>2</sup>  critical depth for shaft frict.  
 $Dr =$  low

$q_p' = N_c * c' + N_q * q_b' = 2205.78$  kN/m<sup>2</sup>  
 $Q_p' = 1732.41$  kN (base resistance)  
 $Z_w = \dots\dots\dots 0.00$  m (hydraulic pressure at the base)

**Axial load design value**

$$\gamma_G = \dots\dots\dots 1.35$$

$$E_d = N_d + \gamma_G W = \dots\dots\dots 4071 + 1.35 * 746.13 = 5078 \text{ kN (vertical load)}$$

**Verification of axial bearing capacity**

$$R_d = \left[ \frac{A_P q'_P}{\gamma_b} + \frac{\sum_i F_{S_i}}{\gamma_S} \right] \frac{1}{\xi_3} = \frac{1732.41}{1.35 * 1.70} + \frac{8823.82}{1.15 * 1.70} = 754.86 + 4513.46 = 5'268 \text{ kN}$$

$$R_d / E_d = 1.04$$

## **10. CONCLUSIONI**

Le verifiche incluse nel presente elaborato, tengono in considerazione i carichi relativi ad un aerogeneratore tipo e delle assunzioni relative ai modelli geotecnici.

Le caratteristiche geometriche delle due tipologie di fondazione descritte nel presente elaborato dovranno confermarsi mediante dimensionamento di dettaglio in fase di progettazione esecutiva, con i carichi di dettaglio sitospecifici forniti dal produttore delle turbine eoliche e a valle di indagini di dettaglio da eseguire sulle singole posizioni. Per questo motivo, la soluzione di fondazione potrà prevedere, in relazione ai carichi ed al terreno, l'utilizzo di una fondazione diretta o su pali trivellati.



GRE CODE

**GRE.EEC.R.25.IT.W.15228.00.040.02**

PAGE

36 di/of 36

**11. ANNEX A – D2370721-004 SGRE ON SG 6.0-170 Foundation loads T115-50A**